



ANEXOS A LA SOLICITUD DE DEPÓSITO DE LA  
LÍNEA CELULAR **OCD FiPS3-Ep6F-6** EN EL  
BANCO NACIONAL DE LÍNEAS CELULARES

## **ANEXOS**

Anexo 1: Fenotipo. Marcadores de pluripotencia

Anexo 2: Diferenciación *in vitro*

Anexo 3: Diferenciación *in vivo*

Anexo 4: Cariotipo

Anexo 5: Resultados microsatélites

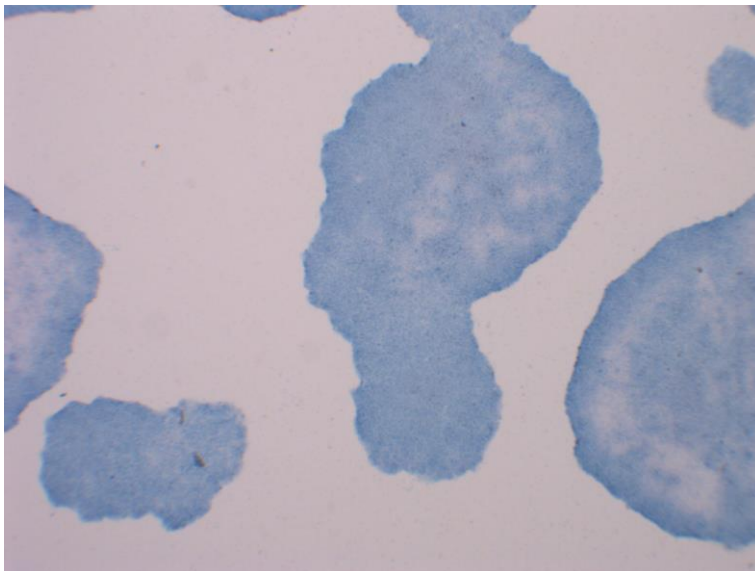
Anexo 6: Ausencia de los transgenes de reprogramación

Anexo 7: Resultado test de micoplasma

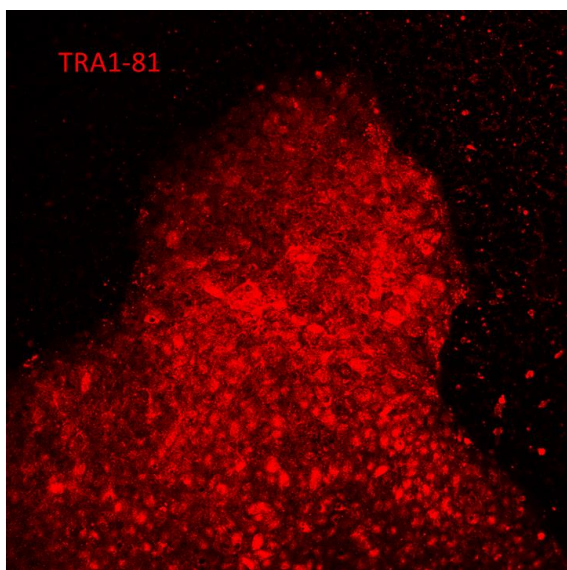
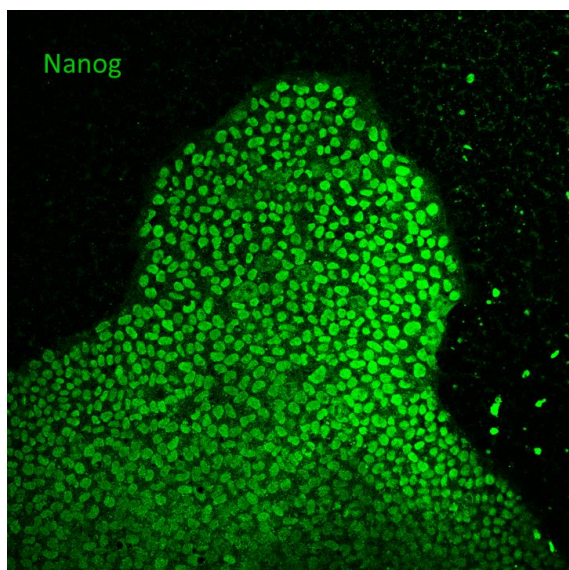


## **Anexo 1**

### **Fenotipo. Marcadores de pluripotencia**

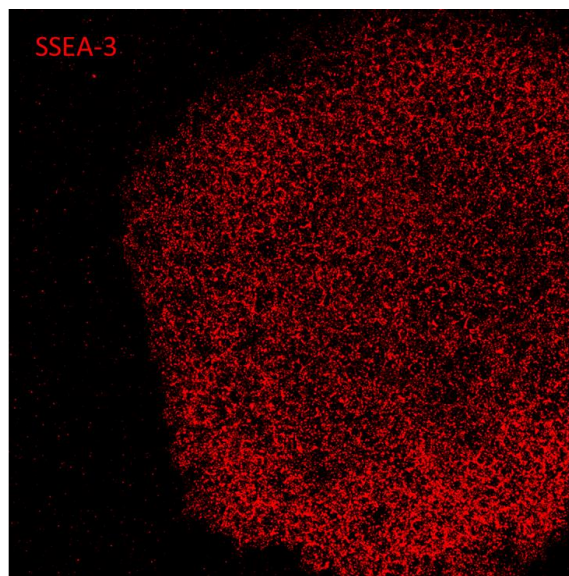
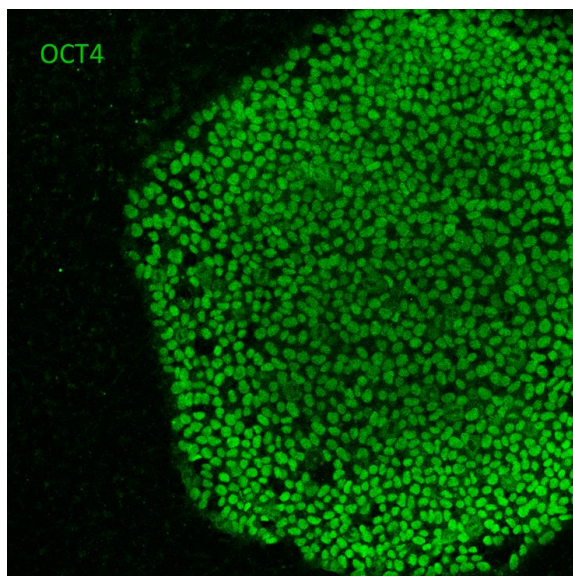


Actividad **fosfatasa alcalina** de la línea de células pluripotentes



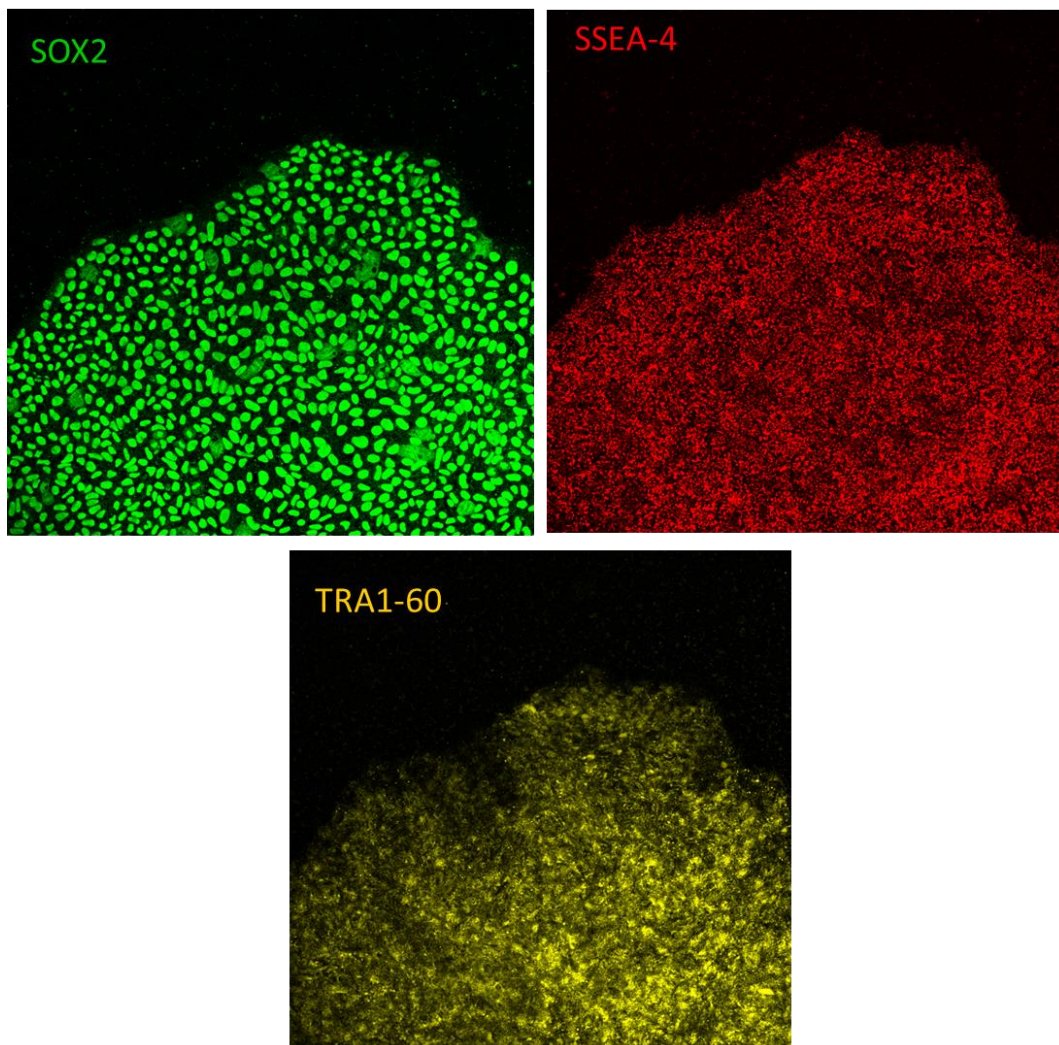
Resultado positivo por inmunocitoquímica para las proteínas de pluripotencia

**Nanog y TRA1-81**



Resultado positivo por inmunocitoquímica para las proteínas de pluripotencia

**Oct-4 y SSEA-3**



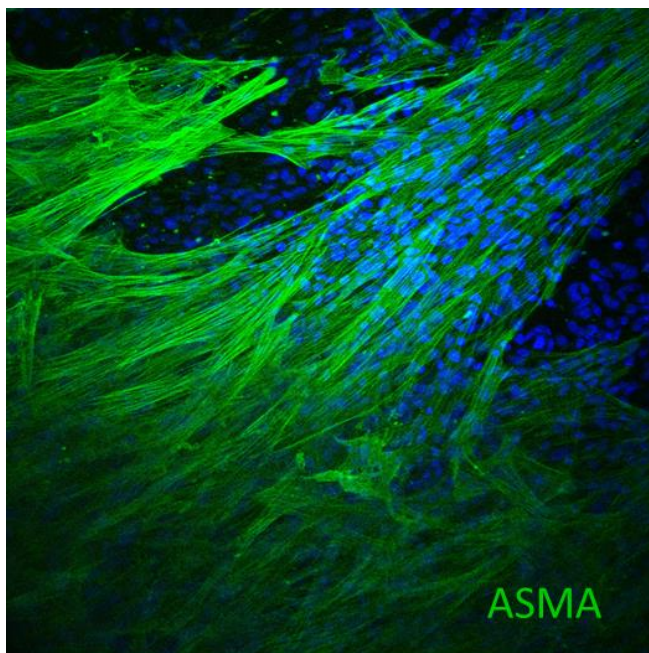
Resultado positivo por inmunocitoquímica para las proteínas de pluripotencia  
**Sox-2, SSEA-4 y TRA1-60**



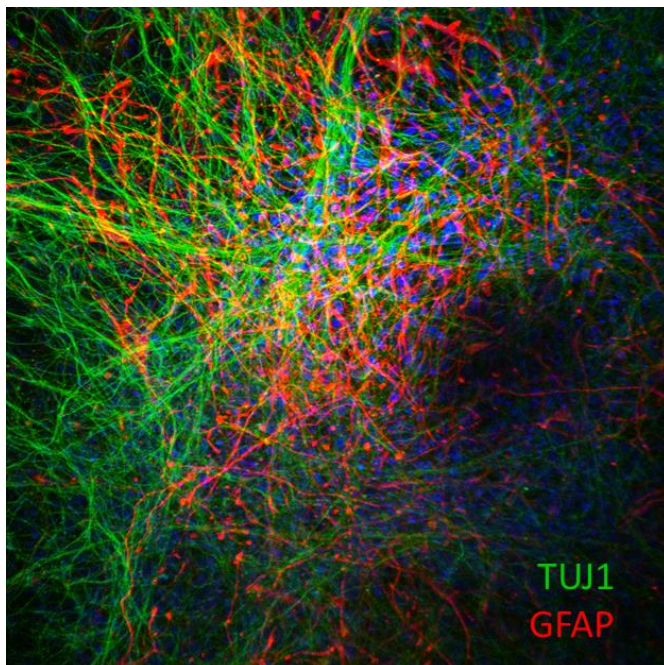
## **Anexo 2**

### **Diferenciación *in vitro***



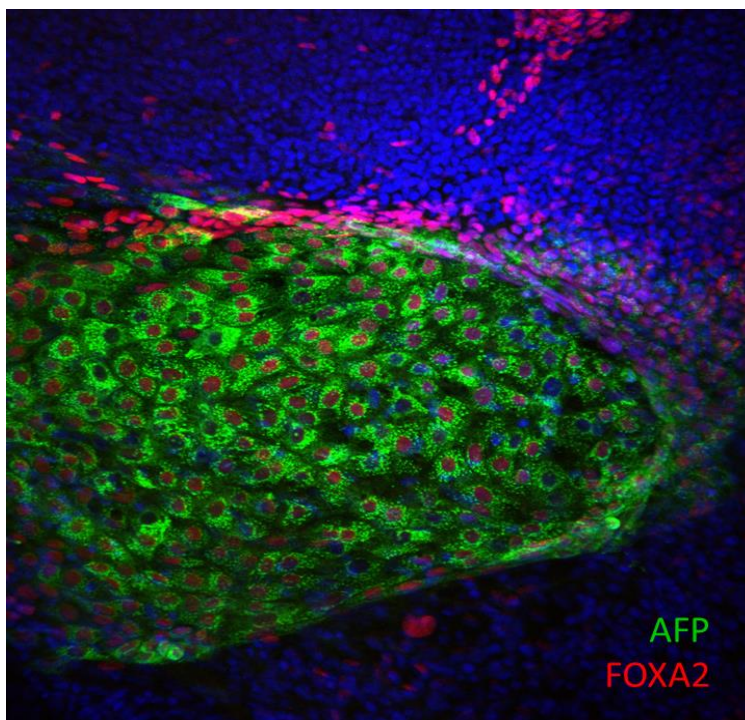


Diferenciación *in vitro* a mesodermo: Células positivas para **ASMA**.



Diferenciación *in vitro* a ectodermo: Células positivas para **Tuj1 y GFAP**



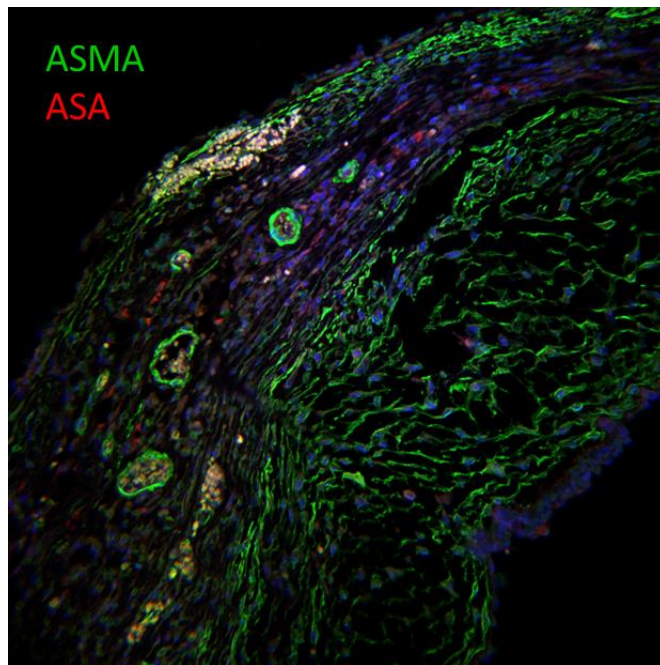


Diferenciación *in vitro* a endodermo: Células positivas para **AFP y FOXA2**

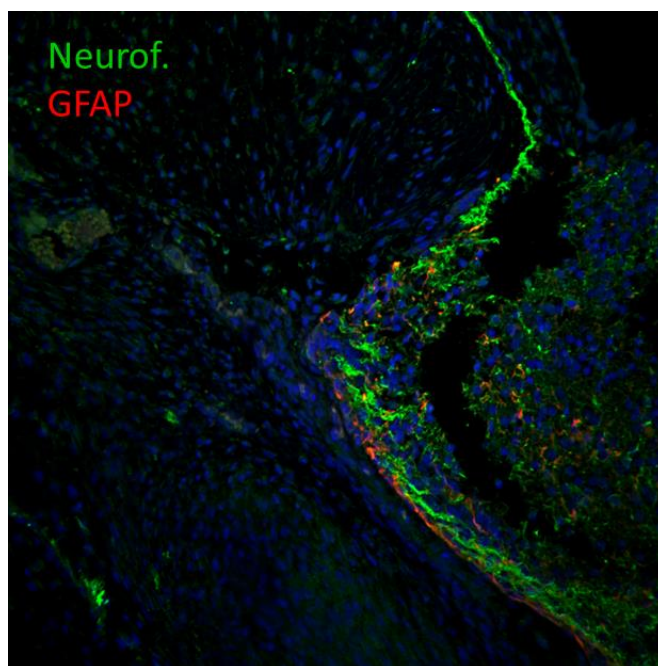


## **Anexo 3**

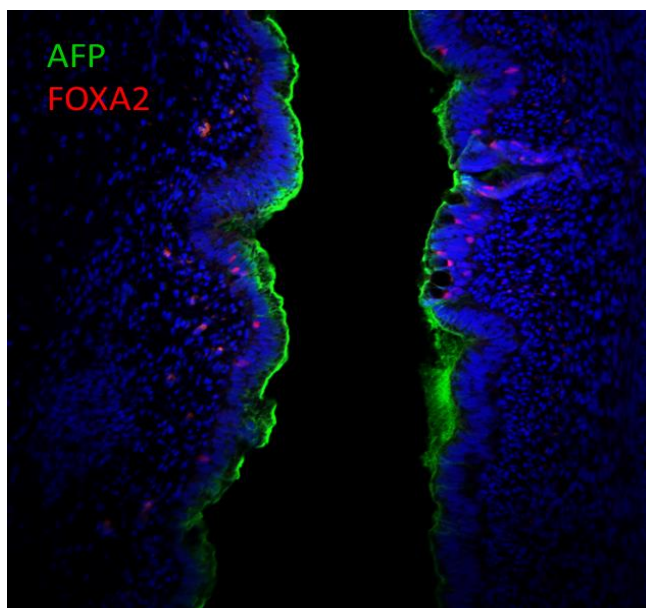
### **Diferenciación *in vivo***



Diferenciación *in vivo* a mesodermo: Células positivas para **ASMA y ASA**



Diferenciación *in vivo* a ectodermo: Células positivas para **Neurofilamento y GFAP**.



Diferenciación in vivo a endodermo: Células positivas para **AFP** y **FOXA2**



## **Anexo 4**

### **Cariotipo**



## ESTUDIO CITOGENETICO

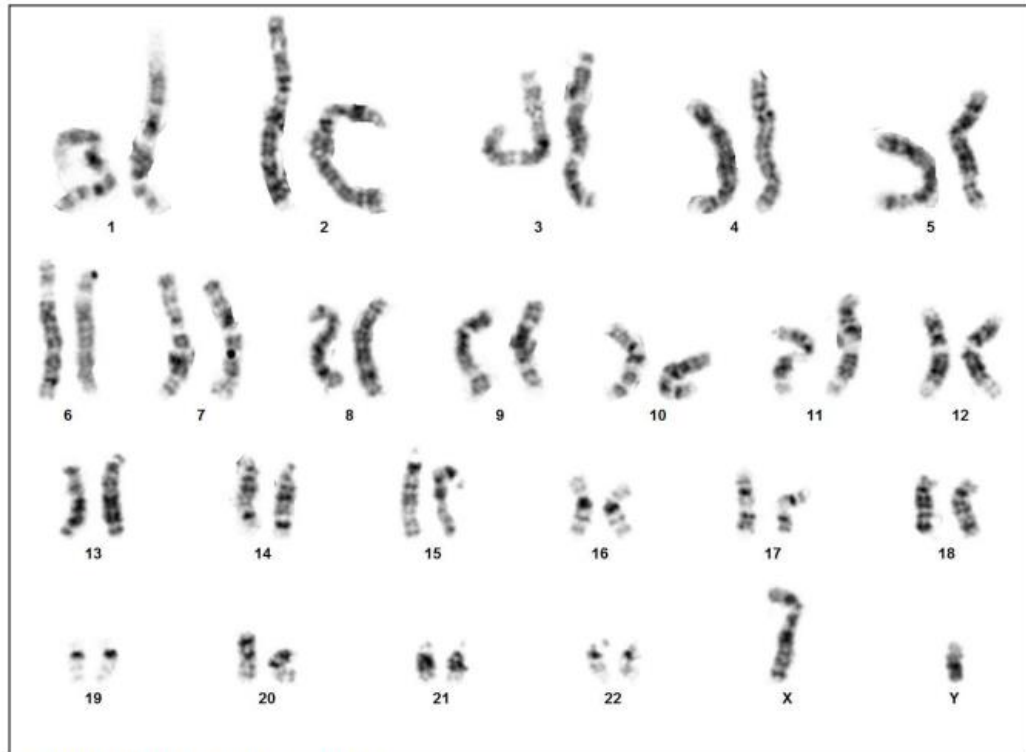
Case name: 01920877

Servicio: IDIBELL

NHC: CT0162

Tipo de muestra: CM

Nombre y Apellidos: OCD FiPS3-Ep6F-6 p7



Case: 01920877 Slide: 1 Cell: 4

Resultado: 46,XY



## **Anexo 5**

### **Resultado microsátélites**

**RESULTADOS:**

En la siguiente tabla se indican los resultados correspondientes a las variantes alélicas para cada locus STR en la muestra analizada.

Código biobanco	Código origen del ADN de la línea celular	Loci STRs analizados									
		TH01	D21S11	D5S818	D13S317	D7S820	D16S539	CSP1PO	AMEL	vWA	TPOX
INVN02520A056ADNA002	OCD FiPS3-Ep6F-6 p7	9; 9.3	30; 31.2	11; 13	11	9; 13	9; 12	11; 12	X; Y	15; 16	8

Granada, a 03 de Agosto de 2020

Laboratorio de Biología Molecular  
Biobanco del SSPA

**RESULTADOS:**

En la siguiente tabla se indican los resultados correspondientes a las variantes alélicas para cada locus STR en la muestra analizada.

Código biobanco	Código origen del ADN de la línea celular	Loci STRs analizados									
		TH01	D21S11	D5S818	D13S317	D7S820	D16S539	CSP1PO	AMEL	vWA	TPOX
INVN02519A527ADNA002	OCD3F, P3	9, 9.3	30, 31.2	11, 13	11	9, 13	9, 12	11, 12	X, Y	15, 16	8

Granada, a 15 de Octubre de 2019

Laboratorio de Biología Molecular  
Biobanco del SSPA

Análisis de microsatélites en la línea de hiPSC y en los fibroblastos de los que procede.

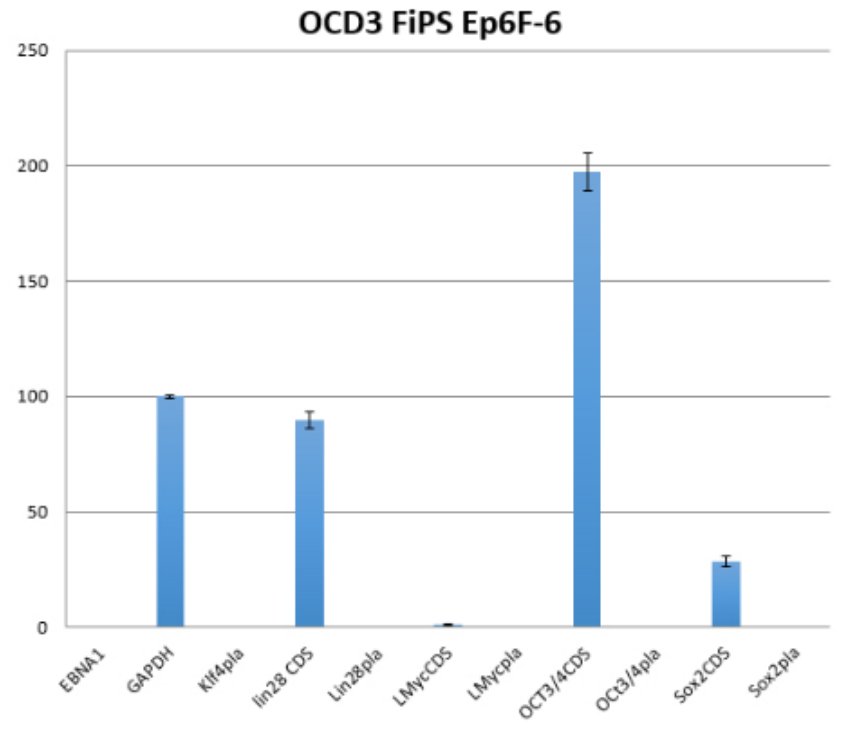


## **Anexo 6**

### **Ausencia de los transgenes de reprogramación**



QRT-PCR donde se muestra la ausencia de plásmidos episomales en la línea de iPSC (**OCD3-6** corresponde a la abreviación de **OCD FiPS3-Ep6F-6**) y en fibroblastos control no-nucleofectados (**OCD3F**) y la presencia de plásmidos en fibroblastos control GFP-nucleofectados 72h después de la nucleofección (**OCD3-RF**)



Niveles de expresión de mRNA de transgenes (pla) y marcadores de pluripotencia endógenos (CDS) en la línea **OCD FiPS3-Ep6F-6**.

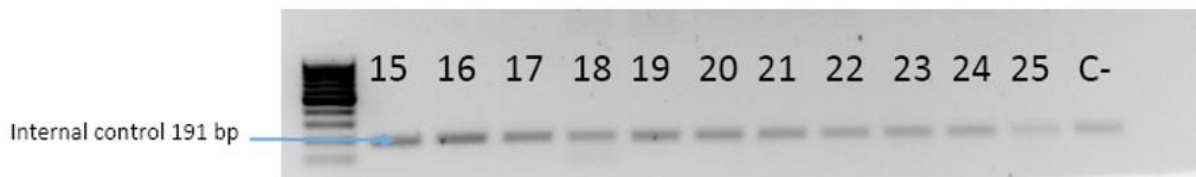




## **Anexo 7**

### **Resultado test de micoplasma**

## Test de micoplasma



18. OCD FiPS3- Ep6F-6 p13